

Single Vacuum Bagging and Autoclave Curing System Influence on Physical and Mechanical Properties of Phenolic Composites

M.A. Mirzapour*, H.R. Haghigat, and E. Zanjirian

Iranian Space Agency, Engineering Research Institute, P.O. Box: 13445-754,
Tehran, Iran

Received 6 December 2010, accepted 16 April 2011

ABSTRACT

Industrial production of thermoset composite components involves the application of a vacuum bagging and autoclave pressure to minimize void percentage, usually to less than 5%. Phenolic resin systems generate water as a reaction by-product via condensation reactions during curing at elevated temperatures. In this paper, vacuum bagging and simple manufactured autoclave curing systems are used for manufacturing of asbestos/phenolic composites and the effects of processing conditions on manufactured composites are investigated. The traditional single-vacuum-bag process is unable to manage the volatiles effectively, resulting in inferior laminates having voids. The autoclave process cure cycle (temperature/pressure profiles) for the selected composite system is designed to emit volatiles during curing reactions effectively and produce composites with low void contents and excellent mechanical properties. Laminate consolidation quality is characterized by optical photomicrography for the cross-sections and measurements of void content and mechanical properties. The void content of phenolic composites as opposed to other composites increases as pressure increases up to 3 bar and it is then decreased beyond it. A product of 124% lower void content, 13% higher density, 24% higher flexural strength and 27% higher flexural modulus can be fabricated in composites obtained by autoclave processing.

Key Words:

vacuum bagging,
autoclave,
asbestos/phenolic
composites,
void content, pressure

(*)To whom correspondence should be addressed.

E-mail: aidinmirzapour@yahoo.com

بررسی اثر کیسه خلاء تنها و سامانه پخت اتوکلاو بر خواص فیزیکی و مکانیکی کامپوزیت‌های فنولی

میراسد میرزاپور*، حسن رضایی حقیقت، ابراهیم زنجیریان

تهران، سازمان فضایی ایران، پژوهشکده مهندسی، صندوق پستی ۱۳۴۴۵-۷۵۴

دریافت: ۹۰/۷/۲۷، پذیرش: ۸۹/۹/۱۵

مجله علوم و تکنولوژی پلیمر،

سال بیست و سوم، شماره ۶،

صفحه ۱۳۸۹-۵۱۸

ISSN : 1016-3255

چکیده

در صنعت فرایندهای کیسه خلاء و اتوکلاو برای ساخت کامپوزیت‌های گرماسخت رایج هستند، به طوری که با اعمال فشار مقدار حباب معمولاً به کمتر از ۵٪ رسد. واکنش پخت رزین فنولی تراکمی است و محصولات جانبی واکنش به شکل گاز آزاد می‌شوند. در کار حاضر، برای ساخت کامپوزیت‌های فنولی-آربیست از فرایند کیسه خلاء تنها و اتوکلاو ساده ساخته شده در این پژوهش، استفاده شد و اثر شرایط فرایند روی کامپوزیت‌های ساخته شده بررسی شد. فرایند کیسه خلاء تنها، به تنها یی قابلیت کنترل موثر بخارها را ندارد و حباب زیادی در کامپوزیت‌ها به وجود می‌آید. برای سامانه کامپوزیت مورد نظر، چرخه پخت فرایند اتوکلاو (نمودارهای دما-فشار)، طوری طراحی شد تا بخار آب ایجاد شده در واکنش پخت کامپوزیت‌ها به کمک میکروسکوپ نوری، اندازه‌گیری مقدار حباب و خواص مکانیکی بالا تولید شود. کیفیت کامپوزیت‌ها به کمک میکروسکوپ نوری، اندازه‌گیری مقدار حباب و خواص مکانیکی بررسی شد. مقدار حباب کامپوزیت‌های فنولی برخلاف کامپوزیت‌های معمولی، با افزایش فشار تا ۲ bar کاهش یافته، ولی پس از آن افزایش می‌یابد. مقدار حباب کامپوزیت‌های ساخته شده با اتوکلاو تا ۱۲۴٪ کمتر و چگالی، استحکام و مدول خمشی آنها به ترتیب ۲۴، ۱۳ و ۲۷٪ بیشتر است.

واژه‌های کلیدی

کیسه خلاء،

اتوکلاو،

کامپوزیت فنولی - پنبه نسوز،

مقدار حباب، فشار

* مسئول مکاتبات، پیام نگار:

aidinmirzapour@yahoo.com

مقدمه

۰/۰/۶ bar قرار دارد. از طرفی مقدار خلاء مورد نیاز برای هر رزین به گرانروی و فرازیت اجزای تشکیل دهنده آن وابسته است. استفاده از مقدار خلاء زیاد باعث خروج بیش از حد رزین از الیاف می‌شود. این پدیده باعث می‌شود تا الیاف خشک و بدون رزین باقی بمانند [۷]. پژوهش‌های Stringer روی فرایند کیسه خلاء نشان داد که با اعمال خلاء تنها، نمی‌توان مقدار حباب باقی مانده را به کمتر از ۱۰٪ رساند [۴،۵]. هم‌چنین آنها مشاهده کردند که در این شرایط اعمال خلاء بیشتر به افزایش قطر حباب‌ها منجر می‌شود. لازم به ذکر است، اعمال خلاء زیاد ممکن است به کیسه خلاء آسیب برساند. البته با استفاده از کیسه سیلیکونی چندبار مصرف احتمال پارگی کیسه کاهش می‌یابد [۸]. فرایند کیسه خلاء نه تنها به وسیله مقدار حباب کاهش یافته، بلکه با افزایش قطر حباب نیز محدود می‌شود. برای مقدار یکسان حباب، حباب‌های کوچک‌تر نسبت به حباب‌های بزرگ تر سریع‌تر و راحت‌تر خارج می‌شوند. بنابراین، فشار اعمالی اتوکلاو برای کاهش بیشتر حباب لازم و ضروری است [۱].

Kardos و همکاران نشان دادند که به طور فیزیکی، فرایند خروج حباب از راه اعمال فشار با فرایند خروج حباب از راه اعمال خلاء متفاوت است [۹]. در روش اعمال خلاء با از بین رفت حباب فشار اعمال می‌شود. از این‌رو، مدل خروج حباب بر اساس هسته‌گذاری و رشد حباب پایه‌گذاری شده است. نتایج پژوهش‌های Kardos و همکاران نشان می‌دهد، به وجود آمدن حباب، پایداری و حتی رشد آن به سه ویژگی نیروی کشش سطح مشترک ویژه (S_{MV})، فشار داخلی حباب (P_v) و فشار هیدروستاتیکی خارجی رزین (P_m) بستگی دارد. دلایل مختلفی برای تشکیل حباب وجود دارد که از جمله آنها می‌توان به حبس شدن هوا، رطوبت جذب شده و رشد حباب در فشار کم اشاره کرد. وقتی ماتریس از راه واکنش تراکمی پخت می‌شود، محصولات گازی می‌توانند به شکل حباب محبوس شوند که در نهایت باعث کاهش استحکام کامپوزیت‌های ساخته شده می‌شود [۱۰، ۱۱]. Tang و همکاران دریافتند، با افزایش مقدار حباب، که به سبب فشار کم پخت به وجود می‌آید، استحکام برشی بین لایه‌ای و استحکام فشاری کاهش می‌یابد [۱۲]. Gurdal و همکاران نشان دادند، با افزایش مقدار حباب استحکام کششی بین لایه‌ای کم می‌شود [۱۳]. Costa و همکاران آثار مقدار حباب کامپوزیت‌های کربن - اپوکسی را روی استحکام برشی بین لایه‌ای بررسی کرده‌اند [۱۴]. به هر حال، بیشتر پژوهشگران اغلب روی آثار حباب‌های موجود پیش از پخت یا ایجاد شده از راه رطوبت جذب شده تمرکز کرده و کمتر حباب‌های به وجود آمده در اثر واکنش پخت را بررسی کرده‌اند. لازم به یادآوری است، رزین‌های

فرایندهای پخت انتخاب شده برای ساخت سازه‌های مهندسی تهیه شده از کامپوزیت‌های گرماسخت باید دو خاصیت بهینه را برای این کامپوزیت‌ها تأمین کنند. اولین و مهم‌ترین خاصیت، دمای انتقال شیشه‌ای (T_g) است. ماتریس دریش از این دما مانند یک الاستومر عمل می‌کند و افزایش دما در این ناحیه با کاهش قابل توجهی در خواص مکانیکی و افزایش در خواص گرانروکشسانی همراه است. در دماهای کمتر از T_g، ماتریس مثل یک فاز شیشه‌ای رفتار می‌کند که با افزایش قابل توجه در خواص مکانیکی و کاهش خواص گرانروکشسانی همراه می‌شود. هر چه T_g کامپوزیت بیشتر باشد، مقاومت و عملکرد کامپوزیت در دماهای بیشتر بهبود می‌یابد. انتخاب روش پخت مناسب، رسیدن به حداقل T_g را تضمین می‌کند [۱-۳].

دومین خاصیت بهینه، مقدار حباب باقی مانده در رزین است. طی فرایند لایه‌گذاری وجود حباب‌ها اجتناب ناپذیر است. وجود مقدار زیادی حباب در کامپوزیت نشان می‌دهد که الیاف به خوبی به وسیله رزین آغشته سازی نشده و عواقب زیر را به دنبال دارد:

- به دلیل چسبندگی ناکافی بین رشته‌های الیاف، استحکام سطح مشترک الیاف کاهش می‌یابد. در نتیجه، استحکام و مدول کششی کامپوزیت افت می‌کند.
- خوردگی الیاف، باعث آسیب دیدگی و پارگی آنها می‌شود.
- کامپوزیت دچار ترک خوردگی می‌شود و به دلیل به هم پیوستگی حباب‌ها ترک‌ها رشد می‌کنند.

مقدار حباب کم استحکام مکانیکی و اطمینان از ثبات استحکام را به حداقل می‌رساند [۴-۶]. در این زمینه Boey و همکاران با اعمال فشارهای زیاد در فرایند اتوکلاو، به این نتیجه رسیدند که کاهش حباب از ۴۰٪ به ۱۰٪ استحکام خمسی را تا حدود سه برابر و مدول خمسی را تقریباً دو برابر افزایش می‌دهد [۱،۶]. Stringer و همکاران پس از تلاش‌های فراوان توانستند از راه قالب‌گیری تزریقی زیر خلاء، قطعات کامپوزیتی تولید کنند که مقدار حباب در آنها به کمتر از ۳٪ کاهش یافته بود [۵]. نتایج نشان می‌دهد، افزایش استحکام خمسی با کاهش مقدار حباب متناسب و زمانی که مقدار حباب بین ۳-۵ درصد است این تناسب به خوبی برقرار می‌شود.

در فرایند کیسه خلاء، مقدار حباب با انتقال فیزیکی حباب‌های موجود در رزین و شبکه الیاف به درون خطوط خلاء کاهش می‌یابد. به هر حال، این روش به وسیله دو عامل محدود کننده یعنی فشار جزئی مواد فرار رزین و تغییر گرانروی آن در طول فرایند پخت، تحت تأثیر قرار می‌گیرد. مقدار خلاء ایجاد شده در درون کیسه خلاء در محدوده

ضخامت سنج فراصوت شرکت Elcometer مدل ۴۵۶ و چگالی ظاهری کامپوزیت‌های ساخته شده طبق استاندارد ASTM D792، به روش شناورسازی اندازه‌گیری شد [۱۵]. آزمون تعیین سختی کامپوزیت‌ها طبق استاندارد ASTM D2240 [۱۶] و به وسیله سختی سنج سوزنی مدل شور D (Shore D) شرکت Rex آمریکا و بررسی سینتیک پخت رزین رزول به وسیله گرماسنجی پویشی تفاضلی (DSC) و با استفاده از دستگاه Dupont 910، براساس استاندارد E1269 [۱۷] در جو نیتروژن و با سرعت $10^{\circ}\text{C}/\text{min}$ انجام شد. مقدار حباب کامپوزیت‌های ساخته شده با استفاده از استاندارد ASTM D 2734 محاسبه شد. آزمون خمث مطابق استاندارد ASTM D790 و به روش سه نقطه‌ای با استفاده از دستگاه H&P آلمانی مدل ۵۰ انجام گرفت. تصاویر میکروسکوپ نوری با استفاده از میکروسکوپ آلمانی DM4000M Heraeus Lika آلمان، به عنوان منبع گرماپنی اتوکلاو برای پخت کامپوزیت‌ها استفاده شد.

روش‌ها

آغشته‌سازی پارچه‌های پنبه نسوز

در این مرحله ۳ لایه از پارچه‌های پنبه نسوز AAA به ابعاد $20 \times 20 \text{ cm}$ بریده و به دقیقت توزین شد. سپس، پارچه‌ها با مخلوط رزین فنولی IL ۸۰۰/۲ و پرکننده زیرکونیا، که پیشتر با هم زن مخلوط شده‌اند، به کمک قلم مو و غلتک دستی آغشته‌سازی شد. نسبت الیاف، رزین و پرکننده به ترتیب ۵۰، ۴۳ و ۷٪ بود.

پیش‌پخت پیش‌آغشته‌ها در گرمخانه

برای تعیین شرایط پیش‌پخت رزین از روش‌های مختلفی می‌توان استفاده کرد. در این پژوهش، از اطلاعات آزمون گرماسنجی پویشی تفاضلی استفاده شد. همان‌طور که در گرمانگاشت شکل ۱ قابل مشاهده است، پخت رزین IL ۸۰۰/۲ از دمای حدود 110°C به تدریج آغاز می‌شود و تا دمای حدود 180°C ادامه می‌یابد. بیشترین سرعت پخت در محدوده دمایی 165°C اتفاق می‌افتد. به همین دلیل محدوده دمایی $100-110^{\circ}\text{C}$ دمای مناسب برای پیش‌پخت پیش‌آغشته‌ها و دمای 165°C به عنوان دمای پخت نهایی رزین IL ۸۰۰/۲ انتخاب شد [۱۹، ۲۰].

ساخت کامپوزیت با فرایند قالب‌گیری کیسه خلاء

شرایط فرایندی هر نوع رزین فنولی منحصر به فرد است. از این‌رو، برای هر نوع رزین باید شرایط فرایند به طور جداگانه بررسی شود و

معمولی مثل اپوکسی طی واکنش پخت محصولات فرار تولید نمی‌کنند. اما، رزین‌هایی مثل رزین فنولی در حین واکنش پخت محصولات فرار تولید می‌کنند که باید به خوبی کنترل و از سامانه خارج شوند. در این مقاله، در باره جزئیات کامل ساخت کامپوزیت‌های فنولی - الیاف پنبه نسوز (آزبست) از راه فرایند کیسه خلاء تنها و اثر اعمال فشار در فرایند اتوکلاو بر مقدار کاهش حباب‌های تولید شده در اثر واکنش پخت تراکمی رزین فنولی بحث می‌شود. استفاده از اتوکلاوهای صنعتی پیش‌رفته برای ساخت نمونه‌های آزمایشگاهی برای انجام آزمون‌های مدنظر بسیار پرهزینه است. به همین دلیل، برای ساخت نمونه‌های آزمایشگاهی و درک مفاهیم اصلی و عملی فرایند اتوکلاو و نیز انجام آزمون‌های آزمایشگاهی روی کامپوزیت‌های ساخته شده، گروه پلیمر پژوهشکده مهندسی اقدام به طراحی و ساخت یک سامانه اتوکلاو ساده کرد. در این پژوهش با استفاده از این اتوکلاو ساده، کامپوزیت‌های فنولی - پنبه نسوز در فشار کم نسبت به فشار زیاد هیدرولیکالو ساخته شد تا هم فرایند پخت ساده‌تر شود و هم هزینه فرایند ساخت به طور قابل توجهی کاهش یابد. با استفاده از این اتوکلاو می‌توان نمونه‌های کامپوزیتی استاندارد به شکل صفحه و لوله ساخت.

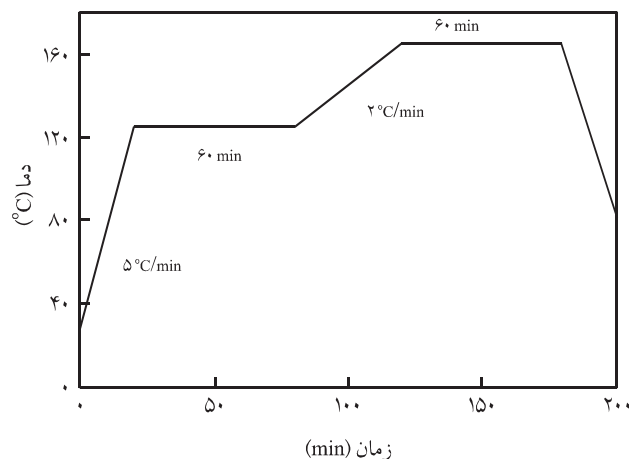
تجربی

مواد

در این پژوهش، از رزین فنولی مایع IL ۸۰۰/۲ بر پایه رزول محصول شرکت رزیتان، با چگالی 1.72 g/cm^3 و مقدار جامد $81 \pm 3\%$ ، پارچه‌های پنبه نسوز AAA نوع کریزوتابیل با چگالی 0.75 g/cm^3 ، ضخامت 2.0 mm و وزن واحد سطح 110.0 g/cm^2 محصول شرکت Lijian چین و پرکننده زیرکونیا با چگالی 0.59 g/cm^3 ساخت شرکت Hetian ceramic استرالیا برای ساخت کامپوزیت استفاده شد. از دو صفحه فولادی با روکش تفلونی به ابعاد $20 \times 20 \text{ cm}$ به عنوان قالب، برای تهیه کیسه خلاء از فیلم سیلیکونی شرکت Aerovac، از فیلم تفلونی شرکت Aerovac به ضخامت 0.05 mm به عنوان فیلم جداکننده و از پارچه پلی استر شرکت Aircraft spruce به عنوان پارچه جاذب رزین اضافی استفاده شد. پارچه‌های پنبه نسوز با استفاده از قلم مو و غلتک دستی آغشته‌سازی شد.

دستگاه‌ها

ضخامت صفحات کامپوزیتی ساخته شده، با استفاده از یک دستگاه

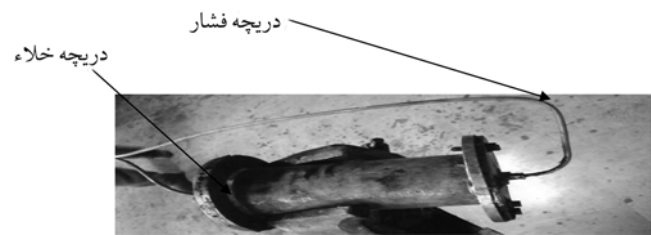


شکل ۲ - نمودار چرخه پخت کامپوزیت فنولی - پنبه نسوز از راه فرایند کیسه خلاء.

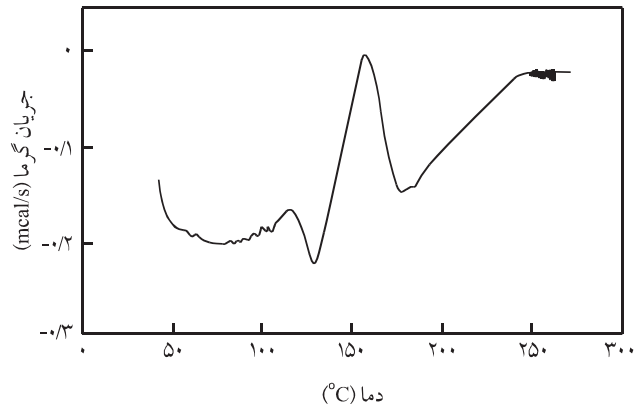
برای هر شرایط فرایند، ۵ قطعه به طور مجزا تهیه شد.

ساخت کامپوزیت با فرایند اتوکلاو

در این روش، پیش آگشته هایی که درون کیسه قرار گرفته و آماده پخت به روش کیسه خلاء هستند، داخل یک محفظه فولادی مستقر در گرم خانه قرار گرفتند. کیسه در داخل یک محفظه فولادی قرار گرفت که با دو درپوش کاملا بسته و آب بندی شده بود. در یکی از درپوش ها مسیری برای اعمال فشار هوا به داخل اتوکلاو ایجاد شد. لوله هایی از جنس فولاد زنگ نزن با مقاومت دمایی و فشاری زیاد برای اعمال فشار و خلاء به کار رفت. در [شکل ۳](#)، اتوکلاو لوله ای به همراه دریچه خلاء و فشار نشان داده شده است. درپوشی که شامل دریچه فشار است به وسیله یک فلانچ آب بندی شده همیشه به محفظه چسبیده و متصل است. درپوش شامل لوله خلاء قابل باز و بسته شدن بوده و با واشر سیلیکونی آب بندی می شود. از شیرهای ویژه که به سرعت باز و بسته و به خوبی آب بندی می شوند، به عنوان شیرهای خلاء و فشار استفاده



شکل ۳ - محفظه فولادی به همراه دریچه های خلاء و فشار.



شکل ۱ - گرمانگاشت DSC رزین رزول با سرعت گرمادهی $10^{\circ}\text{C}/\text{min}$.

بهینه ترین آنها معین شود. برای پخت این کامپوزیت ها به روش قالب گیری با کیسه خلاء، بر اساس نتایج DSC رزین رزول یک چرخه دوپله دمایی (مرحله توقف و مرحله پخت) و هم چنین نمودار اعمال خلاء در نظر گرفته شد. شرایط فرایند مثل دمای توقف، دما و زمان در مرحله پخت، فشار خلاء و زمان اعمال آن مهم ترین پارامترهای اثرگذار بر کیفیت و خواص مکانیکی کامپوزیت های ساخته شده از راه فرایند پخت کیسه خلاء است که برای هر نوع رزین و پیش آگشته خاص باید به شکل تجربی معین شود [۲۰، ۱۹]. برای بررسی اثر شرایط فرایند A و B خواص و کیفیت کامپوزیت های ساخته شده دو شرایط فرایند A و B انتخاب شد. برای هر دو شرایط فرایند، چرخه پخت به شکل یک نیمرخ دمای دوپله ای که در [جدول ۱](#) آمده است، انتخاب شد. ابتدا دمای گرم خانه با سرعت $5^{\circ}\text{C}/\text{min}$ به دمای 120°C (دمای توقف) رسید و به مدت 60 min (مدت زمان توقف) در این دما باقی ماند. پس از این مدت دمای گرم خانه با سرعت $2^{\circ}\text{C}/\text{min}$ به دمای 165°C رسید. مجموعه به مدت ۱ h در این دما باقی ماند تا رزین فنولی به طور کامل پخت شود. چرخه پخت به کار رفته برای پخت کامپوزیت به طور نمایی در [شکل ۲](#) نشان داده شده است. برای بررسی تکرار پذیری قطعات ساخته شده

جدول ۱ - شرایط فرایند انتخاب شده در ساخت کامپوزیت ها از راه فرایند پخت کیسه خلاء.

شرایط فرایند	دما پیش پخت ($^{\circ}\text{C}$)	زمان پیش پخت (min)	چرخه پخت نهایی ($^{\circ}\text{C}$)	دما پیش پخت ($^{\circ}\text{C}$)
A	۱۰۰	۱۵	۱۶۵	۱۲۰
B	۱۰۰	۲۰	۱۶۵	۱۲۰

* مدت زمان در هر یک از مراحل 60 min انتخاب شد.

ساخت کامپوزیت با فرایند قالب گیری کیسه خلاء
 نتایج حاصل از آزمون های تعیین خواص فیزیکی کامپوزیت های ساخته شده با دو شرایط فرایند A و B در **جدول ۳** آمده است.
 همان طور که مشاهده می شود، نتایج به دست آمده برای هر دو شرایط فرایند با هم مشابه خیلی زیادی دارند. کامپوزیت های ساخته شده، با این که سختی خوبی دارند، ولی دارای چگالی کمی هستند و حباب باقی مانده زیادی در آنها مشاهده می شود.

ساخت کامپوزیت با فرایند اتوکلاو

نتایج حاصل از اندازه گیری ضخامت، چگالی، سختی و مقدار حباب کامپوزیت های ساخته شده با فرایند اتوکلاو به ترتیب در **شکل ۴** تا ۷ آمده است. همان طور که در **شکل ۴** مشاهده می شود، با افزایش فشار ضخامت کاهش می یابد. این کاهش ضخامت بیشتر در محدوده ۱ تا bar ۴ چشم گیر است. به طوری که وقتی فشار از ۱ به ۵ افزایش می یابد، کاهش ضخامت حدود ۴۸٪ است. ولی در افزایش فشار از ۴ به ۵ bar کاهش ضخامت فقط حدود ۵٪ است. سختی کامپوزیت ها در حالتی که طی چرخه پخت الیاف آن از رزین خالی نشده باشد، فقط به سختی سطح آن بر می گردد و سختی این قطعات بیش از همه به مقدار پیش رفت واکنش پخت رزین آن مربوط می شود. **شکل ۵** نشان می دهد، افزایش فشار در محدوده مورد بررسی در سینتیک پخت این نوع رزین ها بی اثر است. در **شکل ۶** مشاهده می شود، چگالی کامپوزیت ها نیز با افزایش فشار افزایش می یابد. این افزایش چگالی وقتی فشار از ۱ به ۵ bar

جدول ۳- نتایج خواص کامپوزیت های ساخته شده با شرایط فرایند A و B.

مقدار حباب (%)	چگالی (g/cm³)	(Shore D)	سختی	شناسه قطعه
۱۵	۱/۵۵	۸۹±۳		A _۱
۱۴	۱/۴۸	۸۸±۳		A _۲
۱۴	۱/۵۰	۸۵±۳		A _۳
۱۵	۱/۵۱	۸۵±۳		A _۴
۱۶	۱/۵۶	۹۰±۳		A _۵
۱۵	۱/۵۲	۸۷±۳		میانگین
۱۶	۱/۵۲	۹۰±۲		B _۱
۱۵	۱/۵۳	۸۸±۳		B _۲
۱۶	۱/۴۵	۸۸±۳		B _۳
۱۶	۱/۵۱	۸۹±۳		B _۴
۱۴	۱/۵۱	۸۶±۳		B _۵
۱۵	۱/۵۰	۸۸±۳		میانگین

شد. سامانه اتوکلاو ساخته شده قابلیت تحمل ۸ bar را داشت و برای آن که فشار اتوکلاو از مقدار فشار معین شده بیشتر نشود، در مسیر لوله ها یک تنظیم کننده فشار تعییه شد.

در روش اتوکلاو از همان چرخه پخت به کار رفته برای نمونه های A و B استفاده شد. با این تفاوت که باید در مرحله ای از آن چرخه، فشار معینی به داخل محفظه اعمال شود. مقدار فشار اعمالی برای هر نوع رزین و پیش آغشته های آن باید به طور تجربی و از روش آزمون و خطای معین شود. با این که روش مزبور زمان بر است، ولی اغلب بهترین نتیجه از آن حاصل می شود [۲۱]. برای رزین رزول ۲ IL ۸۰۰/۲ با کارهای تجربی که انجام شد، بهترین دمای اعمال فشار همان دمای توقف (۱۲۰°C) به کار رفته در فرایند کیسه خلاء و زمان اعمال خلاء ۱۵ min، پس از باقی ماندن پیش آغشته ها در دمای توقف، انتخاب شد. برای بررسی اثر فشار، ۵ شرایط فرایند مطابق **جدول ۲** انتخاب شد که در آنها فشار از ۱-۵ bar تغییر می کرد. برای هر شرایط فرایند ۵ نمونه جداگانه ساخته شد.

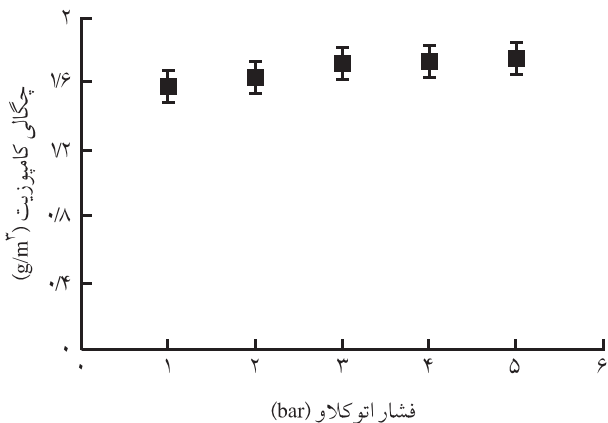
نتایج و بحث

پیش پخت پیش آغشته ها در گرم خانه

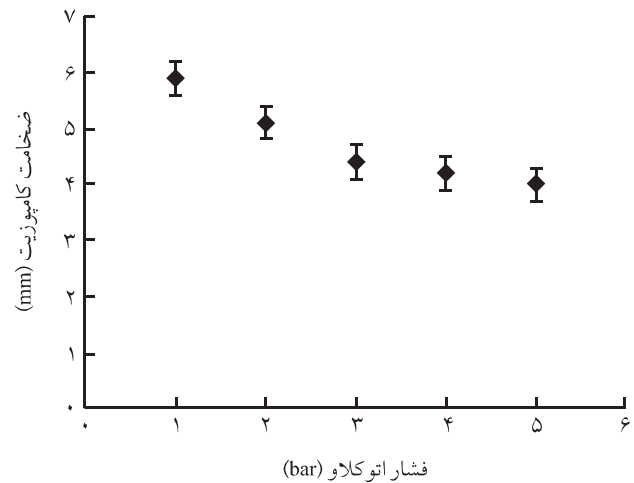
برای پیش پخت پیش آغشته ها، باید مدت زمان بهینه باقی ماندن پیش آغشته ها داخل گرم خانه ۱۰۰°C نیز معین شود. برای پیش پخت پیش آغشته های رزین رزول ۲ IL ۸۰۰/۲ مدت زمان های ۵، ۱۰، ۱۵، ۲۰، ۲۵ و ۳۰ min انتخاب شد. بررسی های کیفی (چسبندگی و انعطاف پذیری) پیش آغشته های تهیه شده در دماهای یاد شده نشان داد، زمان های ۱۵ و ۲۰ min بهترین زمان برای پیش پخت پیش آغشته های رزین رزول ۲ IL ۸۰۰/۲ است. بنابراین، در ادامه طرح آزمایش های تکمیلی تنها روی نمونه های با زمان پیش پخت ۱۵ و ۲۰ min انجام شد.

جدول ۲- شرایط فرایند انتخاب شده برای بررسی اثر فشار بر فرایند.

شرایط فرایند	فشار اعمالی (bar)	دمای اعمال فشار (°C)	زمان اعمال فشار (min)
E _۱	۱	۱۲۰	۱۵
E _۲	۲	۱۲۰	۱۵
E _۳	۳	۱۲۰	۱۵
E _۴	۴	۱۲۰	۱۵
E _۵	۵	۱۲۰	۱۵



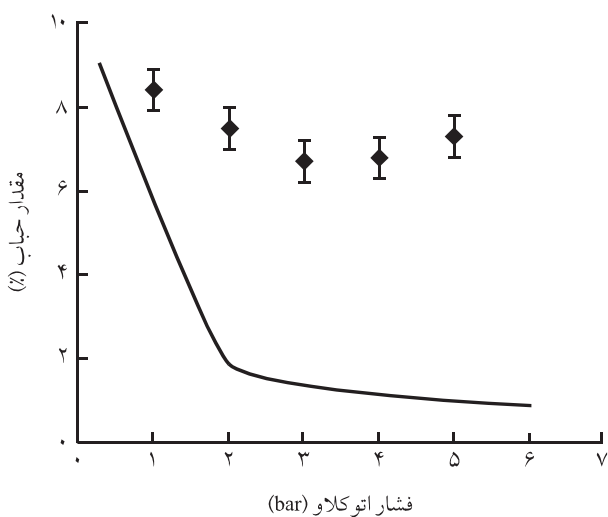
شکل ۶ - نمودار تغییرات چگالی کامپوزیت بر حسب فشار اتوکلاو.



شکل ۴ - نمودار تغییرات ضخامت کامپوزیت بر حسب فشار اتوکلاو.

خلاء وجود دارد، مقدار حباب زیادی به وجود می آید، چرا که طی مرحله زمان توقف مقدار خروج هوای محبوس شده کافی نیست و به علت فشار کم حباب ها رشد می کنند.

- وقتی فشار اتوکلاو از مقدار مشخصی بیشتر می شود، مقدار حباب نیز افزایش می یابد. زیرا، راه های خروج گازهای تولید شده در حین واکنش پخت رزین فنولی، به دلیل فشردگی زیاد الیاف در فشارهای زیاد مسدود می شوند. در حالی که انتظار می رود با افزایش فشار اتوکلاو، از رشد اندازه ذرات جلوگیری شده و مقدار حباب کاهش یابد. از آن جا که محصولات گازی پس از شروع واکنش پخت تولید می شوند، خروج محصولات گازی تولید شده برخلاف خروج حباب های به وجود آمده بیش از مرحله پخت، به وسیله مسدود شدن

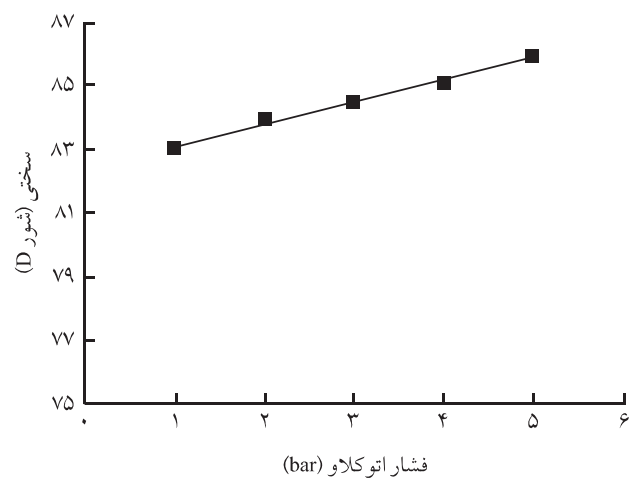


شکل ۷ - نمودار تغییرات مقدار حباب کامپوزیت بر حسب فشار اتوکلاو.

می یابد، حدود ۱۱٪ است. اما در ازدیاد فشار از ۴ به ۵ bar، افزایش چگالی فقط حدود ۱٪ است.

شکل ۷ تغییرات مقدار حباب نسبت به فشار اتوکلاو را نشان می دهد. در این شکل نمودار کامپوزیت های معمولی ساخته شده از رزین هایی که در حین واکنش های پخت محصولات فرار تولید نمی کنند، نیز نشان داده شده است. به طور کلی، مقدار حباب با افزایش فشار ساخت کامپوزیت ها کاهش می یابد. چرا که در ضمن مرحله توقف، مقدار بیشتری از هوای محبوس شده خارج شده و از رشد اندازه حباب به مقدار زیادی جلوگیری می شود [۲۱]. مقدار حباب کامپوزیت فنولی - الیاف پنبه نسوز رفتار متفاوتی نسبت به کامپوزیت های ساخته شده از رزین های معمولی نشان می دهد که می تواند به دلایل زیر باشد:

- هنگامی که فشار اتوکلاو اعمال نمی شود و فقط فشار ناشی از اعمال



شکل ۵ - نمودار تغییرات سختی کامپوزیت بر حسب فشار اتوکلاو.

جدول ۴ - نتایج خواص خمسمی کامپوزیت های ساخته شده از راه شرایط فرایند A و C.

مدول الخمسمی A (GPa)	استحکام الخمسمی A (MPa)	مدول الخمسمی C (GPa)	استحکام الخمسمی C (MPa)	شماره نمونه
۵/۵۲	۶۲/۳۰	۶/۹۷	۷۵/۱۲	۱
۵/۱۲	۶۷/۴۷	۷/۴۵	۷۵/۸۴	۲
۶/۳۰	۵۷/۰۲	۶/۲۰	۷۴/۴۱	۳
۵/۵۲	۵۵/۱۹	۶/۹۵	۷۵/۳۲	۴
۴/۶۲	۶۰/۹۱	۷/۱۰	۷۴/۹۱	۵
۵/۴۶	۶۰/۵۸	۶/۹۳	۷۵/۱۲	میانگین
۰/۶۲	۴/۸۰	۰/۴۶	۰/۵۱	انحراف معیار

حباب های باقی مانده تا ۶/۷٪ کاهش یافته است. در **شکل ۹** تصاویر میکروسکوپ نوری دو نمونه ساخته شده در شرایط فرایند A و C نشان داده شده است. مقدار زیاد حباب باقی مانده در کامپوزیت های ساخته شده با فرایند کیسه خلاء تها مشاهده می شود (**شکل ۹ - الف**). مناطق بین لایه های الیاف، که غالباً غنی از رزین اند، نسبت به مناطق پوشیده از الیاف به طور ویژه ای مقدار حباب بیشتری دارند. آشکارا مشاهده می شود، فرایند کیسه خلاء تها، بازده مناسبی ندارد. در کامپوزیت ساخته شده با این فرایند نه تنها مقدار رزین باقی مانده مورد نظر، بلکه به طور ویژه مقدار حباب باقی مانده نیز مشکل آفرین است. در **شکل ۹ - ب** مشاهده می شود، مقدار حباب باقی مانده در کامپوزیت ساخته شده از راه فرایند اتوکلاو نسبت به فرایند کیسه خلاء تها بسیار کمتر شده است.

یکی از کاربردهای اصلی کامپوزیت های فنولی - پنبه نسوز در صنایع هواپما به ویژه فداشونده ها و بدنه فضایی های برگشت پذیر به جو

جدول ۵- نتایج خواص کامپوزیت های ساخته شده با شرایط فرایند C.

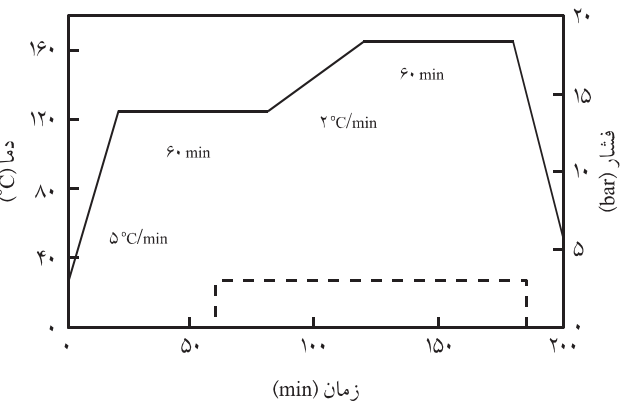
مقدار حباب (%)	چگالی (g/cm ³)	شناسه قطعه	سختی (Shore D)	شناسه قطعه
۶/۴	۱/۶۸	C ₁	۹۲±۲	
۷/۱	۱/۶۴	C ₂	۹۲±۲	
۶/۵	۱/۷۲	C ₃	۹۳±۲	
۷/۷	۱/۷۳	C ₄	۸۸±۲	
۶/۱	۱/۷۳	C ₅	۹۰±۲	
۶/۷	۱/۷۰	میانگین	۹۱±۲	

مسیرهای خروجی تحت تاثیر قرار می گیرد.

اندازه گیری ضخامت، چگالی و مقدار حباب کامپوزیت فنولی - الیاف پنبه نسوز نشان می دهد، ضخامت و چگالی با فشردنگی حاصل از فشار اتوکلاو متناسب است. در حالی که مقدار حباب تا یک فشار معین با افزایش فشار کاهش می یابد، ولی پس از این فشار، مقدار حباب افزایش می یابد. نتایج نشان داد، فشار بهینه برای ساخت کامپوزیت رزین رزول IL ۸۰/۲ bar ۳ است.

برای بررسی و مقایسه استحکام خمسمی کامپوزیت های فنولی - الیاف پنبه نسوز تهیه شده با استفاده از روش پخت کیسه خلاء و اتوکلاو، کامپوزیت هایی با شرایط فرایند A و C ساخته شدن که نمودار چرخه دمایی و فشاری آنها به ترتیب در **شکل ۹** نشان داده شده است. روی کامپوزیت های ساخته شده آزمون خمسم سه نقطه ای انجام شد که نتایج این آزمون در **جدول ۴** آمده است. نتایج نشان داد **جدول ۴** نسبت به کامپوزیت ساخته شده با روش کیسه خلاء (A) به ترتیب ۳ bar و ۲۷٪ بیشتر است. نکته مهم کاهش قابل ملاحظه مقدار انحراف معیار استحکام خمسمی نمونه های ساخته شده با روش اتوکلاو نسبت به کیسه خلاء است. مهم ترین دلیل این کاهش پراکندگی نتایج، کاهش قابل توجه مقدار حباب و تکرار پذیری نمونه های ساخته شده با فرایند اتوکلاو است. نتایج حاصل با نتایج استحکام و مدول خمسمی کامپوزیت های فنولی - پنبه نسوز ساخته شده با استفاده از فرایند پرس گرم و فشار ۱۲۰ bar کاملاً قابل مقایسه است که توسط بهشتی و همکاران به دست آمده است [۲۲].

نتایج خواص فیزیکی کامپوزیت های ساخته شده در شرایط فرایند C در **جدول ۵** آمده است. نتایج نشان داد، کامپوزیت های دهد، کامپوزیت های فنولی - پنبه نسوز ساخته شده با استفاده از فرایند پرس ضمن داشتن سختی مناسب، چگالی آنها به ۱/۷ g/cm³ افزایش و مقدار



شکل ۸- نمودار چرخه پخت کامپوزیت فنولی - پنبه نسوز از راه فرایند اتوکلاو.

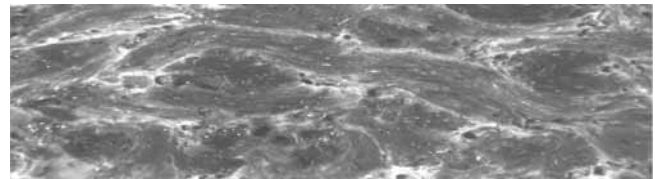
صنایع هوافضا و نیروگاه های گرمایی استفاده کرد [۱۲، ۱۴، ۲۳].

نتیجه گیری

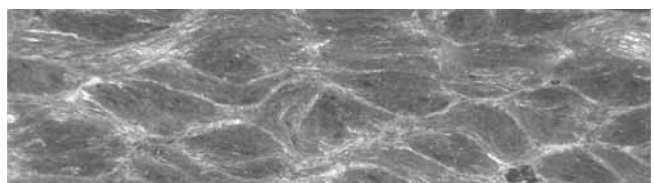
برای ساخت نمونه های آزمایشگاهی و درک مفاهیم اصلی و عملی فرایند اتوکلاو و انجام آزمون های آزمایشگاهی روی کامپوزیت های ساخته شده یک سامانه اتوکلاو ساده طراحی و ساخته شد. تصاویر میکروسکوپ نوری سطح مقطع کامپوزیت های ساخته شده به خوبی نشان داد که مقدار و قطر حباب کامپوزیت های تهیه شده با فرایند اتوکلاو نسبت به کیسه خلاء به طور قابل توجهی کاهش یافته است. چگالی کامپوزیت های فنولی - پنه نسوز ساخته شده با فرایند اتوکلاو تا ۱۳٪ بیشتر و مقدار حباب های باقی مانده در آنها تا ۱۲۴٪ کمتر از کامپوزیت های ساخته شده با فرایند کیسه خلاء تنهاست. بررسی استحکام خمی کامپوزیت ها نیز نشان داد، استحکام و مدول خمی کامپوزیت های ساخته شده با فرایند اتوکلاو به ترتیب ۲۴ و ۲۷٪ بیشتر از کامپوزیت های ساخته شده با فرایند کیسه خلاء است. مقدار حباب کامپوزیت های فنولی با افزایش فشار تا ۳ bar کاهش می یابد، ولی پس از آن با افزایش فشار مقدار حباب افزایش می یابد.

قدرتانی

از پژوهشکده مهندسی سازمان فضایی ایران به دلیل حمایت مالی و از آقایان دکتر احمد رضا بهرامیان و مهندس آزاد کاکسوندی به دلیل مشاوره و همکاری در انجام این پژوهش قدردانی می شود.



(الف)



(ب)

شکل ۹ - ریزنگار کامپوزیت ساخته شده با فرایند: (الف) کیسه خلاء (۱۰۰x) و (ب) اتوکلاو (۱۰۰x).

است. وجود حدود ۱۰٪ حباب برای کاهش ضربه نفوذ گرما و رسانایی گرمایی کامپوزیت های فداشونده به کار رفته در موتور موشک، به ویژه در قسمت واگرای شیپوره که دمای شعله حدود ۳۰۰۰°C است، لازم است. از طرفی، فداشونده های به کار رفته در بدنه فضایی های برگشت پذیر به جو باید مقدار حباب بهینه ای داشته باشند تا ضمن کاهش رسانایی گرمایی و محافظت از بدنه فلزی در برابر دمای ۳۰۰۰°C از استحکام مکانیکی زیادی نیز برخوردار باشند و در برابر نیروهای برشی و اصطکاک شدید به وجود آمده در حین ورود به جو به خوبی مقاومت کنند [۲۳]. بنابراین، با استفاده از فرایند کیسه خلاء و اتوکلاو می توان مقدار بهینه حباب مورد نیاز کامپوزیت ها را کنترل کرد و از آنها برای ساخت فداشونده ها، سپرها و عایق های گرمایی مورد نیاز در

مراجع

- Boey F.Y.C. and Lye S.W., Void Reduction in Autoclave Processing of Thermoset Composites, *Composites*, **23**, 261-266, 1992.
- Enns J.B. and Gilham J.K., *Polymer Characterization: Spectroscopic in Chromatographic and Physical Instrumental Methods*, Craves C.D. (Ed.), American Chemical Society, Advanced Chem Series 203, Chap. 2, 1983.
- Enns J.B. and Gilham J.K., Time-Temperature-transformation Cure Diagram: Modeling the Cure Behavior of Thermoset, *J. Appl. Polym. Sci.*, **28**, 2567-2591, 1983.
- Stringer L.G., Correlation between Compression Strength and Void Content in Hand Layup/Vacuum based CFRP Composite, RARDE Internal Report, Christchurch, UK, 1987.
- Stringer L.G., Optimisation of the Wet Layup/Vacuum Bag Process for CFRP Composites, *Composites*, **20**, 441-452, 1989
- Boye F.Y.C. and Lye S.W., Optimized Curing Process for an Autoclave Cured Fiber Reinforced Composite, *2nd NTI/NUS Symp Mater Processing Techn*, October 1990.
- Boye F.Y.C., Reducing the Void Content and its Variability in Composite Specimens Using a VIM Process, *Polym. Test.*, **12**,

- 325-334, 1991.
8. Boey F., Development of a Reusable Vacuum Bagging Technique for Autoclave Curing of Fiber Reinforced Polymer Composites, *Exptl. Techn.*, **13**, 21-39, 1989.
 9. Kardos J.L., Dave R., and Dudukovic M.P., *Void in Composites*, Proc Symp on Manufacturing Scince of Composites, Gutowski T.G. (Ed.), ASME, Atlanta, GA, USA, 41-56, 1988.
 10. Subramaniam R.S. and Weinberg M.C., The Role of Convective Transport in the Dissolution or Growth of a Gas Bubble, *J. Chem. Phys.*, **72**, 6811-6813, 1980.
 11. Bankoff S.G., *Advanced in Chemical Engineering*, **6**, Academic, New York, 1966.
 12. Tang J.M., Lee W.I., and Springer G.S., Effects of Cure Pressure on Resin Flow, Void and Mechanical Properties, *J. Compos. Mater.*, **21**, 421-420, 1987.
 13. Gurdal Z., Tomasino A.P., and Biggers S.B., Effects of Processing Induced Defects on Laminate Response, Interlaminar Tensile Strength, *SAMPE J.*, **27**, 39-49, 1991.
 14. Costa M.L., Almeida S.F.M., and Rezende M.C., The Influence of Porosity on the Interlaminar Shear Strength of Carbon/Epoxy Fabric Laminates, *Compos. Sci. Technol.*, **61**, 2101-2108, 2001.
 15. Standard Test Method for Density and Specific Gravity of Plastics by Displacemet, *Annual Book of ASTM Standard*, **08.01**, D792-00, 2004.
 16. Standard Test Method for Composite Property-Durometer Hardness, *Annual Book of ASTM Standard*, **09.01**, D2240-04, 20004.
 17. Standard Test Method for Determining Specific Heat Capacity by Differential Scanning Calorimetry, *Annual Book of ASTM Standard*, 09.01, E1269-05, 2004.
 18. Standard Test Method for Void Content of Reinforced Plastics, *Annual Book of ASTM Standard*, **08.01**, D2734-94, 2004.
 19. Hou T.H., Processing and Properties of a Phenolic Composite System, *J. Reinfor. Plast. Compos.*, **10**, 1-7, 2005.
 20. Hou T.H., Evaluation of Double-Vacuum-Bag Process for Composite Fabrication, NASA Langley Research Center, Hampton, Virigina 23681, 2006.
 21. Kim J.W., Kim H.G., and Lee D.G., Composite of Thick Carbon/Phenolic Fabric Composites with Autoclave Method, *Compos. Struct.*, **66**, 467-477, 2004.
 22. Beheshty M.H. and Delbary H., Cure Optimization of Asbestos Reinforced Phenolic Resins, *Iran. J. Polym. Sci. Technol. (In Persian)*, **5**, 307-313, 2004.
 23. Qinghua C., Ablative Thermal Protection Structure Design of Ballistic Reentry Spacecraft, ADA, 256-908, 1992.